

半球粗度の抵抗則.

立命館大学理工学部 正員 大同 淳之
立命館大学大学院 学正員 ○松井 弘

1.はじめに 山地河川のようにれきに比して水深が比較的小さい、つまり相対水深の小さい流れは、相対水深の大きい流れと比べると粗度後流の乱れが流れを支配するといふことが特徴づけられる。したがって、相対水深の大きい領域での抵抗予測を相対水深の小さい領域にまで拡張した従来の研究は必ずしも妥当ではない。本研究は、相対水深の小さい流れの抵抗を解明するために抵抗の要因を分離して考察した。河床抵抗は、個々の抵抗の線形性が成立していようと仮定して抵抗の予測式を導き、実験結果と比較して式の適合性を確かめた。

2. 抵抗則式の説導 図1のように砂面のところどころにれきが突出する河床面を考える。流れに作用する力には、れきの抗力 F 、れきの面の摩擦抵抗 f_s 、砂面の摩擦抵抗 f_m および造波抵抗 f_w がある。これらの抵抗に線形性を仮定すると河床面の抵抗では、これらの和を表わす。図1. 河床面の図である。ここで f_s 、 f_m を f_s に含ませて考えるとでは、次式のようになる。

$$f_s = f_s(1 - \beta) + f_m \cdot \beta \quad (1)$$

ここに β は、単位面積中でれきの影響する面積を表す。

一方、れきの抗力 F は、れき前面の流速 U_f とれきの抗力係数 C_d を用いて次式となる。

$$F = F \cdot g \cdot C_d \cdot \beta^2 \cdot (U_f^2 / 2g) \quad (2)$$

ここに A は、れきの流れ方向の投影面積、 β は、れき前面流速 U_f と平均流速 U_m の比。

図1のように種々の大きさのれきが単位面積中にn個あり、これらが独立で抗力を働かせるとすると単位面積当たりの抵抗は、個々のれきの抗力 F の和を表わす。

$$f_s = (1 - \sum_{i=1}^n \beta_i) + \beta^2 \cdot (\sqrt{8/f_s})^2 \cdot \sum_{i=1}^n (C_d \cdot A_i) / 2 \quad (3)$$

ここに β_i は、砂面の抵抗係数を表す。

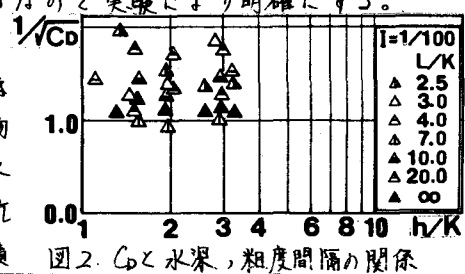
もし河床に同一半球粗度(半径 K)が間隔 L で分布していようとすると単位面積当たりに $n = L/K$ 個存在してなることとなる。この場合の河床抵抗を(3)式を用いて、次のようになる。

$$f_s = (1 - \beta/L)^2 + \beta^2 \cdot (\sqrt{8/f_s})^2 \cdot C_d \cdot A / (2 \cdot L) \quad (4)$$

上式により流れの抵抗係数を予測できる。しかしながら上式中、 U_f と U_m の比 β 、れきの抗力係数 C_d 、れきの影響域 β 、砂面の抵抗係数 f_s が未知なので実験により明確にする。

3. C_d , β , f_s の実験結果

i) C_d の算定 開水路流れは、無限領域の流れと異なり自由水面の流速分布が存在するために流れの中の物体の C_d も当然異なることが予想される。そこで、開水路中で粗度間隔が変わる場合に半球粗度に作用する抗力をせん断力測定装置を用いて測定し、れき投影面積



Atsuyuki DAIDO, Hiromu MATSUI.

上の平均流速を用いて C_D を算出した。そこでは、平均流速に対応するものであるから、 $C_D = 1/\sqrt{C_D} = A \log(h/K) + B$ で整理すると図(2)となる。式中の A , B は、各相対粗度間隔 h/K に対する実験値の傾きと $h/K=1$ の $\sqrt{C_D}$ の値をそれぞれ表わしている。以上にすこし C_D を水深と粗度間隔を用いて表わすことができた。

(ii) α の算定

$$\alpha = \frac{U_K}{U_m} = \frac{\frac{1}{E \cdot K} \frac{1}{\pi K^2 / 2} \int_0^h (y - y^2 / 2h) dA}{\frac{1}{h} \int_0^h (y - y^2 / 2h) dy + \frac{h}{K} \ln \frac{4}{K} dy + \frac{U_K}{U_m}} \quad (5)$$

粗度間隔の流れは、乱れが激しく対数則が成立しない。齊藤によると粗度近傍では、 $E = P \cdot \varepsilon (dy/dy) \dots (6)$ を用いたとき、 $E = \varepsilon/(U_m K)$ が一定値をとることとしている。(6)式は、 $y = \delta$ で粘性底層があり $\delta \approx 0$ とすると流速分布は $U/U_m = (y - y^2/2h)/(E \cdot K) \dots (7)$ となる。(7)式を用いて測定値を整理すると、図3のように同一勾配では E が一定値をとることが分ったのでこれを用いて U_m を表した。一方 U_m は、粗度高さより上では、 $U/U_m = \frac{1}{K} \cdot \ln(y/K) + U_K/U_m \dots (8)$ を用いて算出した。

(iii) β の算定 粗度背後の流速が負の領域は、図(4)のように粗度高さの3倍に達する円錐形をとっている。したがって、 β は、この円錐の平面積と半球粗度の平面積の和である。

(iv) α の算定 おは、直径0.17mmの均一砂をはりつけた実験より $\sqrt{8/f_s} = 3.68 + 5.75 \log(h/h) \dots (9)$ となる。

4. 抵抗則式の検討 羊球粗度 ($K=1.5\text{cm}$) を規則正しく配列した場合の実験結果と計算値の比較を行う。上述の C_D , α , β , γ を(4)式に代入し $h/K=4, 10$ につき計算をすると図(5)の実線と点線となる。 $h/K=4$ の実験値は、著者の実験結果で、 $h/K=10$ は阪本³⁾の実験値である。(4)式の各項に用いた数値に測定のばらつきが含まれてることを考慮すると比較的よく一致しているといえよう。さらに異形の粗度に適用するため足立⁴⁾の桿粗度の実験値と(4)式の比較を図(6)に示した。水深が大きい所では、計算値の方が下にきているが、これは C_D に Raj_{st} の風洞実験で風洞の平均流速で整理された C_D を用いたためだ。 U_K で整理をすれば C_D がより大きくなると予想されることより、実験の(4)式の計算値は、図(4)の実線よりも上にくろと思われる。

5. まとめ 河床抵抗の個々の抵抗要因に線形性を仮定して抵抗係数の予測式を導いた。(4)式によると相対水深 h/K が小さくなると、抵抗係数が増加することが明らかとなり、実験値ともほぼ一致した。また、式と実験値の比較により、ここでは取扱った領域については抵抗の線形性が成立していると結論できた。

参考文献 1) 大田: 粗面開水路における抵抗則, 25回水講, 2) 齊藤: 粗面薄層流れの抵抗則, 35回年講, P368

3) 阪本: 開水路における大型粗度上の流れに関する研究, 大阪府立高等検査課, 昭和50年 4) 足立: 固定床河川模型水路の人工粗度に関する研究, 学位論文, 昭和36年 5) Raju: Resistance to Flow over Two-Dimensional Strip Roughness, Proc. ASCE, 1970年

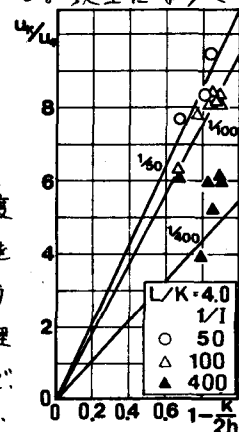


図3 Eの見積り

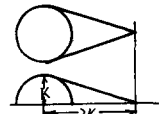


図4 粗度後流の図

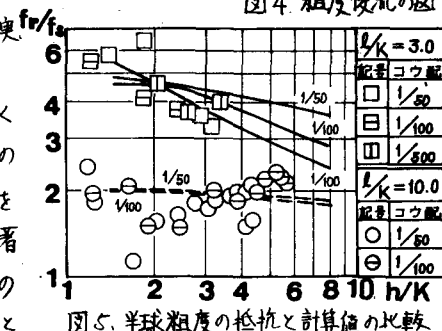


図5. 半球粗度の抵抗と計算値の比較

